

Referências Bibliográficas

- [1] E. Biglieri, "Coding and Modulation for a Horrible Channel," IEEE Communication Magazine, vol.41, no. 4, May 2003, pp. 92-98.
- [2] F. J. Cañete, J. A. Cortés, L. Díes and J. T. Entrambasaguas, "Modeling and Evaluation of the Indoor Power Line Transmission Medium," IEEE Communication Magazine, vol.41, no. 4, April 2003, pp. 41-47.
- [3] C. Konate, M. Machmoum and J. F. Diouris, "Multipath Model for Power Line Communication Channel in the Frequency Range of 1MHZ - 30MHz", EUROCOM 2007, September.
- [4] H. Meng, S. Chen, " Modeling of the Transfer Characteristics for the Broadband Power Line Communication Channel," IEEE Transactions on power delivery, vol. 19, N 3, pp. 529-551, July 2004.
- [5] M. Zimmermann, K. Dostert, "A Multi-Path Model for the Power Line Channel," IEEE Transactions on communications, Vol.50, N0.4, pp 553 - 559, April 2002.
- [6] C. Ioannis Papaleonidopoulos, G. Constantinos Karagiannopoulos, J. Nickolas Theodorou, " Statistical Analysis and Simulation of Indoor Single-phase Low Voltage Power-Line Communication Channels on the basis of Multi path Propagation," IEEE Transactions on power delivery, Vol. 49, No. 1, pp 89 - 99, February 2003.
- [7] A. D. Oliveira and H. F. Silva, "Powerline Communication Using Orthogonal Frequency Division Multiplexing with a Gray Code Variation", Electronic Systems Lab (LabSel) Engineering College Federal University of Juiz de Fora (UFJF), 2003.
- [8] F. Tlili, F. Rouissi and A. Ghazel, "Precoded OFDM for Powerline Broadband Communication", Ecole Supérieure des Communications de Tunis (SUPCOM), Cité Technologique des Communications, 2003 Ariana- Tunisia.
- [9] E. Tooraj, R. Frank Kschischang and P. Glenn Gulak, "In-building power lines as high-speed communication channels: channel characterization and a test channel ensemble," International Journal of Communication Systems 2003, pp 381 - 400, May 2003.
- [10] Prasad, R., Van Nee R., OFDM for wireless multimedia communication, Artech House, 2000.
- [11] M. Zimmermann and K. Dostert, " An Analysis of the Broadband Noise Scenario in Power Line Networks," Proc. 4th. Int'l. Symp. Power Line Commun. and Its apps., Limerick, Ireland, pp. 131-138.
- [12] Y. Zhang, C. Shijie, J. Nguimbis and L. Xiong, "Analysis and Simulation of Low-voltage Powerline Channel using Orthogonal Frequency Division Multiplexing", Journal of Electrical & Electronics Engineering, vol.3, no.1, 2003, pp. 827-833, Istanbul University.
- [13] ETSI, Radio Broadcasting Systems: Digital Audio Broadcasting to mobile, portable and Fixed Receivers, ETS, 300-401, February, 1995.
- [14] ETSI, Digital Video Broadcasting Framing Structure, Channel Coding and Modulation for Digital Terrestrial Televisions, EN 300-744, August, 1997.
- [15] Takanashi., H., Van Nee R., Merged Physical Layer Specification for the 5 GHz Band, technical Report, IEEE, 1998.

- [16] M. K. Ozdemir and H. Arslan, "Channel Estimation for Wireless OFDM Systems", IEEE Communication Survey, Vol. 9, No. 2, 2ND Quarter 2007
- [17] D. Schafhuber, G. Matz, and F. Hlawatsch, "Adaptive Wiener Filters for Time-Varying Channel Estimation in Wireless OFDM Systems," Proc. IEEE Int'l. Conf. Acoust., Speech, and Signal Processing, vol. 4, Hong Kong, China, Apr. 2003, pp. 688–91.
- [18] Rodrigo Pereira David, Técnica de Estimação de Canal utilizando Símbolos Pilotos em Sistemas OFDM , Dissertação de Mestrado, PUC-Rio, Abril de 2007.
- [19] Haykin, S. Adaptive Filter Theory, 2ed. Englewood Cliffs, Nj, USA, Prentice Hall, 1991.
- [20] Diniz, P. S. R. Adaptive Filtering: Algorithms and Pratical Implementation, Norwell, MA, USA, Kluwer Academic Press, 1997.
- [21] Roy, S., Shink J. J., "Analysis of the Data-reusing LMS Algorithm", In: Proceedings of the 32 Midwest Symposium on Circuits and Systems, pp. 1127-1130, Urbana- Champaign, IL, USA, 1989.
- [22] Slock, D. T., "On the Convergence Behavior of the LMS and the normalized LMS Algorithm", IEEE Transaction on Signal Processing , v. 41, pp. 2811-2825, September 1993.
- [23] Jenkins W. K., Hull, A. W., Strait, J. C. et al., Advance Concepts in Adaptive Signal Processing, Norwell, MA, USA, Kluwer Academic Publishers, 1996.
- [24] Aureo Serrano, Equalização e Estimação de Canal em Sistema de Transmissão OFDM, dissertação de Mestrado, PUC-Rio, Julho de 2005.
- [25] HRASNICA, Halid; HAIDINE, Abdelfatteh; LEHNERT Ralf. Broadband Powerline Communications: Network Design. Dresden University of Technology, Germany. Wiley, 2004.
- [26] APTEL – Associação de empresas proprietárias de infra-estrutura e sistemas privados de telecomunicações. <http://www.aptel.com.br>.
- [27] www.teleco.com.br.
- [28] J. G. Proakis, Digital Communications, McGraw-Hill, 1995.
- [29] S. Verdú, Multiuser Detection, Cambridge, Univ. Press, 1998.
- [30] Rodrigo Silva Mello, Modelagem do Canal PLC, Dissertação de Mestrado, PUC-Rio, Março de 2005.
- [31] D. Anastasiadou and T. Antonakopoulos, "Multipath Characterization of Indoor Power-Line Networks," IEEE Trans. on Power Delivery, Vol. 20, No. 1, Jan. 2005.
- [32] Vasegui, S. V., Advanced Signal Processing and Digital Noise Reduction, Wiley-Teubner, 1996.
- [33] P. Stoica and Y. Selém, "Model - Order Selection", IEEE Signal Processing Magazine, Julho de 2004.
- [34] Mauricio Sol de Castro, Soluções adaptativas para equalização autodidata multicanal, Dissertação de Mestrado, Unicamp, Agosto de 2002.
- [35] Wicker, S., B., Error Control Systems for Digital Communication and Storage, Prentice – Hall, 1995.
- [36] Iai, H., Imai, H., On the Distribution of the Peak to average Power Ratio of the OFDM signals. IEEE Trans. Commun., february 2001, pp. 282-289.
- [37] Vijaya Chandran Ramasami, Orthogonal Frequency Division Multiplexing.

- [38] Pollet, T.; Van Balde, M.; Moneclaey, M, "BER Sensitivity of OFDM Systems to Carrier Frequency Offset and Wiener Phase Noise, IEEE Transactions on Communications , p.191-193, April 1995.
- [39] ITU. DTTB Handbook: Digital Terrestrial Television Broadcasting in the VHF/UHF Bands, Technical Reports, Radiocommunication Bureau, 2002.
- [40] IEEE. Supplement to Standard for telecommunication and Information Exchange between Systems – LAN/MAC Specific Requirements – Part 11: Wireless MAC and PHY Specification: High Speed Physical Layer in the 5 GHz Band technical Report, IEEE, 1999.

Apêndices

APÊNDICE 1

Algoritmo EM

O algoritmo EM (*expectation maximization*) é um método iterativo de maximização da função de verossimilhança. O EM é utilizado para resolver problemas onde há a dificuldade de se obter diretamente a estimativa ML (*Maximum-likelihood*) devido ao fato dos dados serem incompletos ou devido à própria dificuldade de se obter a estimativa ML.

O algoritmo EM consiste de dois passos principais: um passo chamado de expectativa (*expectation*), seguido do passo da maximização (*maximization*). A expectativa diz respeito às variáveis desconhecidas, usando a estimação dos parâmetros condicionada pela observação. O passo da maximização obtém a nova estimação dos parâmetros.

Y denota o espaço de amostras da observação e $y \in \mathfrak{R}^m$ denota uma observação de Y . X denota o espaço subjacente e $x \in \mathfrak{R}^n$ denota uma saída de X , com $m < n$. O dado x é chamado de dado completo. O dado completo x não é observado diretamente, mas somente pela observação de y . Uma observação y determina um subconjunto de X , o qual é denotado como $X(y)$. A figura 7.1 ilustra esse mapeamento.

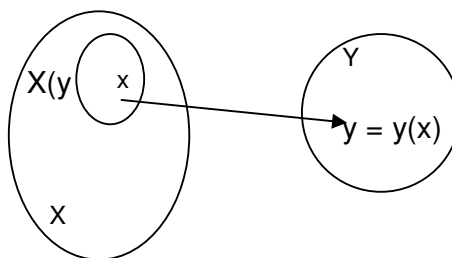


Figura 7.1: Ilustração do mapeamento de muitos para um de X para Y .

O ponto y é a imagem de x e o conjunto $X(y)$ é o mapa inverso de y .

Considerando um vetor aleatório \underline{x} que assume valores no R^n que depende de um parâmetro $\theta \in \Theta \subseteq R^q$ cujo valor deseja-se estimar. Entretanto como foi dito acima \underline{x} não é observável. Tem-se acesso apenas a um vetor aleatório $\underline{y} = H(\underline{x})$ que assume valores no R^m . Por conseqüência H é não inversível.

Deseja-se determinar o estimador ML de θ a partir do conhecimento de \underline{y} (denominado de *dado incompleto*), porém levando-se em conta a sua dependência com \underline{x} (denominado de *dado completo*).

O estimador ML de θ a partir do conhecimento de \underline{y} é dado por:

$$\hat{\underline{\theta}}_{ML} = \arg \max_{\underline{\theta}} p_{\underline{y}}(\underline{Y}; \underline{\theta}) \quad (7.1)$$

Por conveniência podemos maximizar de forma alternativa o logaritmo desta distribuição uma vez que esta função é monotônica crescente. Usando das relações que envolvem as densidades condicionais temos:

$$\log p_{\underline{y}}(\underline{Y}; \underline{\theta}) = \log p_{\underline{x}, \underline{y}}(\underline{X}, \underline{Y}; \underline{\theta}) - \log p_{\underline{x} | \underline{y}}(\underline{X} | \underline{Y}; \underline{\theta}) \quad (7.2)$$

Multiplicando ambos os membros da equação (7.2) por $p_{\underline{x}}(\underline{X}; \underline{\theta}')$ e integrando em \underline{X} ao longo de todo R^n temos:

$$\log p_{\underline{y}}(\underline{Y}; \underline{\theta}) = \int_{R^n} \log p_{\underline{x}, \underline{y}}(\underline{X}, \underline{Y}; \underline{\theta}) \cdot p_{\underline{x}}(\underline{X}; \underline{\theta}') \cdot d\underline{X} - \int_{R^n} \log p_{\underline{x} | \underline{y}}(\underline{X} | \underline{Y}; \underline{\theta}) \cdot p_{\underline{x}}(\underline{X}; \underline{\theta}') \cdot d\underline{X} \quad (7.3)$$

O primeiro termo é facilmente identificável com:

$$U(\underline{\theta}, \underline{\theta}') = \int_{R^n} \log p_{\underline{x}, \underline{y}}(\underline{X}, \underline{Y}; \underline{\theta}) \cdot p_{\underline{x}}(\underline{X}; \underline{\theta}') \cdot d\underline{X} = E_{\underline{x}} \left\{ \log p_{\underline{x}, \underline{y}}(\underline{X}, \underline{Y}; \underline{\theta}) \mid \underline{y} = \underline{Y}, \underline{\theta}' \right\} \quad (7.4)$$

E o segundo termo pode ser visto como:

$$V(\underline{\theta}, \underline{\theta}') = \int_{R^n} \log p_{\underline{x} | \underline{y}}(\underline{X} | \underline{Y}; \underline{\theta}) \cdot p_{\underline{x}}(\underline{X}; \underline{\theta}') \cdot d\underline{X} = E_{\underline{x}} \left\{ \log p_{\underline{x} | \underline{y}}(\underline{X} | \underline{Y}; \underline{\theta}) \mid \underline{y} = \underline{Y}, \underline{\theta}' \right\} \quad (7.5)$$

Pode ser mostrado [32] que a função V satisfaz a seguinte desigualdade:

$$V(\underline{\theta}, \underline{\theta}') \leq V(\underline{\theta}', \underline{\theta}') \quad \text{para } \forall \underline{\theta}, \underline{\theta}' \in \Theta \quad (7.6)$$

Assim tem-se:

$$\begin{aligned}
L(\underline{\theta}) &= U(\underline{\theta}, \underline{\theta}') - V(\underline{\theta}, \underline{\theta}') \\
L(\underline{\theta}') &= U(\underline{\theta}', \underline{\theta}') - V(\underline{\theta}', \underline{\theta}') \\
&\quad \Downarrow \\
L(\underline{\theta}) - L(\underline{\theta}') &= [U(\underline{\theta}, \underline{\theta}') - U(\underline{\theta}', \underline{\theta}')] + \underbrace{[V(\underline{\theta}', \underline{\theta}') - V(\underline{\theta}, \underline{\theta}')]_{\geq 0}} \\
&\quad \Downarrow \\
L(\underline{\theta}) - L(\underline{\theta}') &\geq U(\underline{\theta}, \underline{\theta}') - U(\underline{\theta}', \underline{\theta}')
\end{aligned} \tag{7.7}$$

Conseqüentemente se $\underline{\theta}$ for escolhido de modo que $U(\underline{\theta}, \underline{\theta}') \geq U(\underline{\theta}', \underline{\theta}')$ então $L(\underline{\theta}) \geq L(\underline{\theta}')$.

Este resultado permite a construção de um método iterativo para determinação do estimador ML que requer exclusivamente o conhecimento da função $U(\underline{\theta}, \underline{\theta}')$

1. Seja $\underline{\theta}_0$ um valor arbitrário para $\underline{\theta}$
2. Seja $\underline{\theta}_1 = \arg \max_{\underline{\theta}} U(\underline{\theta}, \underline{\theta}_0)$
3. Faça $\underline{\theta}_0 = \underline{\theta}_1$ e volte para 2.

APÊNDICE 2

Resultado

Seja \underline{x} um vetor gaussiano complexo de média \underline{m} e matriz covariância Λ . Queremos determinar $E\{\underline{x}^\dagger \cdot A \cdot \underline{x}\}$.

$$\begin{aligned}
E\{\underline{x}^\dagger \cdot A \cdot \underline{x}\} &= E\{[\underline{x} - \underline{m} + \underline{m}]^\dagger \cdot A \cdot [\underline{x} - \underline{m} + \underline{m}]\} = \\
&= E\{[\underline{x} - \underline{m}]^\dagger \cdot A \cdot [\underline{x} - \underline{m}]\} + E\{\underline{m}^\dagger \cdot A \cdot \underline{m}\} - E\{\underline{m}^\dagger \cdot A \cdot [\underline{x} - \underline{m}]\} - E\{[\underline{x} - \underline{m}]^\dagger \cdot A \cdot \underline{m}\} = \\
&= E\{[\underline{x} - \underline{m}]^\dagger \cdot A \cdot [\underline{x} - \underline{m}]\} + E\{\underline{m}^\dagger \cdot A \cdot \underline{m}\} - \underline{m}^\dagger \cdot A \cdot E\{[\underline{x} - \underline{m}]\} - E\{[\underline{x} - \underline{m}]^\dagger\} \cdot A \cdot \underline{m} = \\
&= E\{[\underline{x} - \underline{m}]^\dagger \cdot A \cdot [\underline{x} - \underline{m}]\} + E\{\underline{m}^\dagger \cdot A \cdot \underline{m}\}
\end{aligned} \tag{7.8}$$

Observe que o primeiro termo se desenvolve da forma:

$$\begin{aligned}
E\{[\underline{x} - \underline{m}]^\dagger \cdot A \cdot [\underline{x} - \underline{m}]\} &= E\left\{\sum_i \sum_j A_{ij} \cdot (x_i - m_i) \cdot (x_j - m_j)^*\right\} = \\
&= \sum_i \sum_j A_{ij} \cdot \Lambda_{ij} = \sum_i \sum_j A_{ij} \cdot [\Lambda^T]_{ji} = \sum_i [A \cdot \Lambda^T]_{ii} = \text{tr}[A \cdot \Lambda^T]
\end{aligned} \tag{7.9}$$

APÊNDICE 3

Resultado (Ljung 87)

Se \underline{x} e \underline{y} são vetores conjuntamente gaussianos complexos de médias \underline{m}_x e \underline{m}_y e de matrizes de covariâncias dadas por Λ_x e Λ_y com covariância cruzada dada por Λ_{xy} então $\underline{x}/\underline{y}$ é um vetor gaussiano complexo de média $\underline{m}_x + \Lambda_{x,y} \cdot \Lambda_y^{-1} \cdot (\underline{y} - \underline{m}_y)$ e matriz covariância expressa por $\Lambda_x - \Lambda_{x,y} \cdot \Lambda_y^{-1} \cdot \Lambda_{x,y}^\dagger$.

APÊNDICE 4

Sistema OFDM

Considere N fontes discretas emitindo símbolos de um mesmo alfabeto a uma taxa de símbolos $1/T$. Os símbolos de cada fonte modulam um filtro próprio, caracterizado por uma função específica de suporte não superior a T. Os sinais produzidos pelas fontes são então somados e transmitidos por um canal. A figura 7.2 ilustra este processo de transmissão.

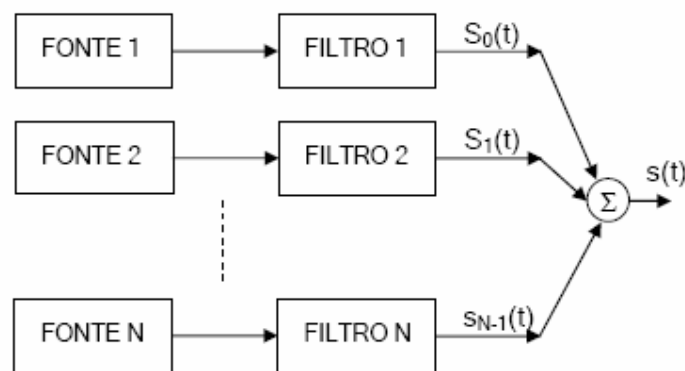


Figura 7.2: Processo de transmissão OFDM

$x_{i,m}$ = símbolo emitido pela fonte $i+1$ no intervalo $[m.T, (m+1).T]$

$$s_i(t) = \sum_{m=-\infty}^{+\infty} x_{i,m} \cdot \phi_i(t - mT) = \sum_{i=0}^{N-1} s_i(t) \quad (7.10)$$

Na recepção, $s(t)$ passa por um banco de N filtros casados aos sinais $\{\phi_i(\cdot)\}$, como está indicado na figura 7.3.

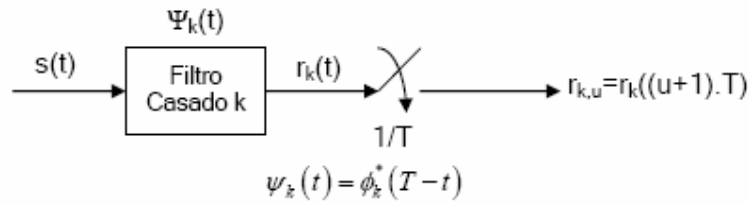


Figura 7.3: Processo de recepção OFDM

$$r_k(t) = s(t) * \psi_k(t) = \int_{-\infty}^{+\infty} s(t-\lambda) \psi_k(\lambda) d\lambda =$$

$$\sum_{i=0}^{N-1} \int_{-\infty}^{+\infty} s(t-\lambda) \phi_k^*(T-\lambda) d\lambda = \sum_{i=0}^{N-1} \sum_{m=-\infty}^{+\infty} x_{i,m} \cdot \int_0^T \phi_i(t-\lambda-mT) \phi_k^*(T-\lambda) d\lambda \quad (7.11)$$

$$r_k((I+1).T) = \sum_{i=0}^{N-1} \sum_{m=-\infty}^{+\infty} x_{i,m} \cdot \int_0^T \phi_i((I+1-m).T-\lambda) \phi_k^*(T-\lambda) d\lambda$$

Por questões de suporte das funções $\{\phi_i(\cdot)\}$, a integral acima só é não nula quando $l = m$ e assim:

$$r_k((I+1).T) = \sum_{i=0}^{N-1} x_{i,I} \cdot \int_0^T \phi_i(\lambda) \phi_k^*(\lambda) d\lambda \quad (7.12)$$

A única forma de recuperar o símbolo adequado consiste em exigir que os sinais $\{\phi_i(\cdot)\}$ sejam ortogonais no intervalo $[0, T]$. Por comodidade, exigiremos que estes sinais sejam ortonormais em $[0, T]$ ou seja:

$$\int_0^T \phi_i(\lambda) \phi_k^*(\lambda) d\lambda = \delta[i-k] \quad (7.13)$$

Um conjunto de funções que satisfazem esta propriedade é apresentado abaixo e que denominaremos de “proposta OFDM”:

$$\phi_i(t) = \frac{1}{\sqrt{T}} \cdot \exp\left[j.2\pi \cdot \frac{i}{T} \cdot (t-t_0)\right] \quad t \in [0, T], i \in \{0, 1, \dots, N-1\} \quad (7.14)$$

Estas funções possuem uma propriedade que será muito útil adiante que é:

$$(a,b) \in (0,T] \Rightarrow \phi_i(a+b) = \exp\left(j.2\pi.\frac{i}{T}.b\right)\phi_i(a) \quad (7.15)$$

O PROBLEMA DO INTERVALO DE GUARDA

No desenvolvimento acima foi assumido que o canal é ideal, isto é, sem ruído e sem distorção.

Vamos admitir agora que o canal pode ser modelado por um sistema linear invariante no tempo (pelo menos durante o período T) cuja resposta impulsional $h(t)$ possui suporte T_g inferior a T .

Se nada for feito na transmissão, ocorrerá ISI (*Inter symbol Interference* – interferência intersimbólica). Para combatê-la, cria-se um intervalo de guarda a montante do intervalo T . Assim o sinal transmitido no restante deste intervalo ao chegar à recepção, terá seu término antes no início do sinal do período seguinte. Como está indicado na figura 7.4.



Figura 7.4: Intervalo de guarda

Agora não se poderá usar na recepção o sinal recebido durante este intervalo.

sinal transmitido $s(t)$

sinal recebido $r(t) = s(t)*h(t)$

Seja,

$$\hat{r}(t) = \begin{cases} r(t) & t \in (m.T, (m+1).T] \quad \forall m \\ 0 & \text{caso contrario} \end{cases} \quad (7.16)$$

Este sinal recebido passa pelo mesmo banco de filtros anteriormente discutido.

$$\begin{aligned}
r_{k,i} &= \hat{r}(t) * \psi_k(t) \Big|_{t=(I+1)T} = \int_{IT+T_g}^{(I+1)T} r(u) * \psi_k((I+1)T - u) . du \\
&= \int_{T_g}^T r(\lambda + IT) . \psi_k(T - \lambda) . d\lambda = \\
&= \int_{T_g}^T [h(u) . s(\lambda + IT - u) . du] \psi_k(T - \lambda) . d\lambda = \\
&= \int_{T_g}^T \left[\int_{T_g}^T h(u) . \left[\sum_{i=0}^{N-1} \sum_{m=-\infty}^{+\infty} x_{i,I} . \phi_i(\lambda - u + (I - m)T) \right] du \right] \psi_k(T - \lambda) . d\lambda
\end{aligned} \tag{7.17}$$

Novamente devido aos suportes das funções envolvidas acima, só não são nulos os termos em que $m=1$ e assim:

$$r_{k,I} = \sum_{i=0}^{N-1} x_{i,I} . \int_{T_g}^T \left[\int_{T_g}^T h(u) . \phi_i(\lambda - u) . du \right] \psi_k(T - \lambda) . d\lambda \tag{7.18}$$

Se assumirmos a “proposta OFDM” então, usando a propriedade mencionada destas funções tem-se que:

$$r_{k,I} = \sum_{i=0}^{N-1} x_{i,I} . \int_0^{T_g} h(u) . \exp\left(-j2\pi \cdot \frac{i}{T} u\right) . du \int_{T_g}^T \phi_i(\lambda) . \psi_k(T - \lambda) . d\lambda \tag{7.19}$$

Pode-se facilmente perceber que a primeira integral é a transformada de Fourier da resposta impulsional do canal na frequência i/T e que por simplicidade denotaremos por h_i . Assim:

$$r_{k,I} = \sum_{i=0}^{N-1} x_{i,I} . \int_0^{T_g} h_i . \int_{T_g}^T \phi_i(\lambda) . \psi_k(T - \lambda) . d\lambda \tag{7.20}$$

Desnecessário dizer que continuamos querendo que a integral acima seja nula para $i \neq k$, mas também queremos manter o fato de que a recepção continua sendo feita por filtros casados, o que implica em:

$$\int_{T_g}^T \phi_i(\lambda) \phi_k^*(\lambda) d\lambda = \delta[i - k] \quad (7.21)$$

Isto pode ser facilmente obtido fazendo uma leve alteração nas funções $\{\phi_i(\cdot)\}$ sugeridas. Considere agora as funções:

$$\phi_i(t) = \frac{1}{\sqrt{T - T_g}} \cdot \exp\left[j2\pi \cdot \frac{i}{T - T_g} \cdot (t - t_0) \right] \quad t \in [T_g, T], i \in \{0, 1, \dots, N\} \quad (7.22)$$

Convém salientar que a propriedade mencionada agora passa a ser:

$$(a + b) \in (T_g, T] \Rightarrow \phi_i(a + b) = \exp\left(j2\pi \cdot \frac{i}{T} \cdot b \right) \cdot \phi_i(a) \quad (7.23)$$

Observe que os espectros de amplitude destes sinais são da forma:

$$|\mathfrak{S}[\phi_i(t)]| = K \text{Sinc} \left[(T - T_g) \cdot \left(f - \frac{i}{T - T_g} \right) \right] \quad (7.24)$$

e assim temos funções Sinc de largura de faixa de nulo de $\frac{1}{T - T_g}$ e centradas em

freqüências múltiplas de $\frac{1}{T - T_g}$, indo de 0 a $\frac{N - 1}{T - T_g}$.

Consequentemente a largura da faixa de nulo do sinal $s(t)$ vale:

$$W = \frac{N}{T - T_g} \Rightarrow T = T_g + \frac{N}{W} \quad (7.25)$$

Frequentemente escolhe-se T_g de modo a ser múltiplo de $\frac{1}{W}$, digamos

$T_g = \frac{L}{W}$. Então:

$$T = T_g + \frac{N}{W} = \frac{L}{W} + \frac{N}{W} = \frac{M}{W} = M \cdot T_s \quad \text{onde } T_s = \frac{1}{W} \quad (7.26)$$

O PROBLEMA DO MULTIPERCURSO

No caso de multipercursos, sinais distintos chegam ao receptor com atrasos distintos devido a diferente faixa de frequência que ocupam. Neste caso a ortogonalidade é perdida dando origem ao que é chamado de ICI (*Inter carrier Interference* – interferência entre portadoras). Como indicado na figura 7.5.

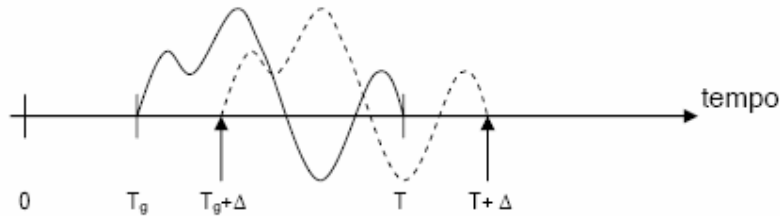


Figura 7.5: Multipercurso

Note que agora a integral de ortogonalidade se escreve da forma:

$$\int_{T_g+\Delta}^T \phi_i(t) \cdot \phi_j^*(\lambda - \Delta) \cdot d\lambda = \exp\left(j2\pi \cdot \frac{\Delta}{T - T_g}\right) \cdot \int_{T_g+\Delta}^T \phi_i(t) \cdot \phi_j^*(\lambda - \Delta) \cdot d\lambda \quad (7.27)$$

onde a integral final não é necessariamente nula.

Na tentativa de resolver este problema, vamos “estender” o suporte das funções $\{\phi_i(\cdot)\}$ de $[T_g, T]$ para $[0, T]$, conseqüentemente, tem-se:

$$\int_{T_g}^T \phi_i(t) \cdot \phi_j^*(\lambda - \Delta) \cdot d\lambda = \int_{T_g}^{T_g+\Delta} \phi_i(t) \cdot \phi_j^*(\lambda - \Delta) \cdot d\lambda + \int_{T_g+\Delta}^T \phi_i(t) \cdot \phi_j^*(\lambda - \Delta) \cdot d\lambda \quad (7.28)$$

Observe que a propriedade básica pode ser aplicada na 2ª integral, mas em princípio não pode ser aplicada na 1ª integral, a não ser que no processo de extensão das funções $\{\phi_i(\cdot)\}$ esta propriedade seja também imposta, o que será aqui feito. Para o caso das funções sugeridas, isto é automaticamente satisfeito desde que $\Delta \leq T_g$. Assim tem-se que:

$$\phi_i(t) = \frac{1}{\sqrt{T - T_g}} \cdot \exp\left[j2\pi \cdot \frac{i}{T - T_g} \cdot (t - t_0)\right] \quad t \in [0, T], i \in \{0, 1, \dots, N - 1\} \quad (7.29)$$

e para $i \neq j$ tem-se que:

$$\int_{T_g}^T \phi_i(\lambda) \phi_j^*(\lambda - \Delta) d\lambda = \exp\left(j2\pi \frac{\Delta}{T - T_g}\right) \int_{T_g}^T \phi_i(\lambda) \phi_j^*(\lambda) d\lambda = 0 \quad (7.30)$$

Convém notar que a continuação indicada das funções $\{\phi_i(\cdot)\}$ faz com que estas apresentem a seguinte propriedade:

$$\phi_i(t) = \phi_i(t + T - t_g) \text{ para } t \in (0, T_g] \quad (7.31)$$

O que faz com que esta extensão seja denominada de prefixo cíclico.

Em resumo: o sinal OFDM é da forma:

$$s(t) = \sum_{i=0}^{N-1} s_i(t) = \sum_{i=0}^{N-1} \sum_{m=-\infty}^{+\infty} x_{i,m} \phi_i(t - mT)$$

$$\phi_i(t) = \begin{cases} \frac{1}{\sqrt{T - T_g}} \cdot \exp\left[j2\pi \frac{W}{N} i \cdot (t - t_o)\right] & \text{para } t \in (A, T] \\ 0 & \text{para } t \in (0, A] \end{cases} \quad (7.31)$$

Se $A=0$, temos o chamado sinal OFDM de prefixo cíclico (CP)

Se $A=T_g$, temos o chamado sinal OFDM de prefixo nulo (NP)